

## بارت برادن

## تصویر هندسی پولیا از انتگرالهای مرزی مختلط\*

ترجمه امیر اکبری مجدآبادنو

انتگرالهای مرزی مختلط را هاله‌ای از رمز و راز پوشانیده که ازدوران دانشجویی هواره مرا به خود مشغول کرده است. جان کلام درسختن چرچیل و براون [۲] آمده است: "انتگرال معین در حساب دیفرانسیل و انتگرال را می‌توان به عنوان مساحت تعبیر کرد، و نیز تعبیرهای دیگری برای آن وجود دارد. اما برای انتگرال در صفحه مختلط، به جز در موارد خاص، تعبیر مفید هندسی یا فیزیکی مشابهی در دست نیست." در ۱۹۷۴، ژرژ پولیا پاسخی ساده برای این مسئله پیشنهاد کرد، اما به نظر نمی‌رسد که ایده او آنقدرها مورد توجه قرار گرفته باشد. با پیروی از این رهیافت پولیا، می‌توان به کمک روشهای گرافیک کامپیوتری دانشجویان را در تجسم و تخمین انتگرالهای مختلط یاری کرد.

در نظریه پتانسیل کلاسیک مرسوم است که به تابع حقیقی همساز  $u(x, y)$  يك "پتانسیل مختلط"  $f(x+iy) = u(x, y) + iv(x, y)$  نسبت دهند، که در آن  $v(x, y)$  مزدوج همساز  $u(x, y)$  است. در این صورت بخشهای حقیقی و موهومی  $f'(z)$  مؤلفه‌های میدان گرادیان  $\langle u_x(x, y), u_y(x, y) \rangle$  متناظر با پتانسیل  $u(x, y)$  اند. ایده پولیا به سادگی این بود: به هر تابع مختلط  $f(x+iy) = u(x, y) + iv(x, y)$  به جای میدان مشتق  $f'(x+iy)$ ، میدان برداری صفحه‌ای  $f(x+iy) = \langle u(x, y), -v(x, y) \rangle$  را نسبت دهید. در [۳] نشان داده شده است که انتگرالهای مختلط با انتگرالده  $f(z)$  تعبیر هندسی و فیزیکی ساده‌ای بر حسب میدان برداری نظیر  $f(x+iy)$  دارند. تحقق این واقعیت مسرت بخش، هدف این مقاله است، و ما نشان خواهیم داد که تصویر میدان برداری می‌تواند به منظور تخمین انتگرالهای مرزی خاص به کار رود و به چشم انداز جدیدی در نظریه انتگرالگیری مختلط

- Braden, Bart., "Pólya's geometric picture of complex contour integrals," *Mathematics Magazine*, 60(1987) 321-327.

\* این مقاله از طرف جامعه ریاضی آمریکا (MAA) در سال ۱۹۸۸ برنده جایزه "کارل آلدورفر" شده است.

بیانجامد. در يك مقاله پیش [۱] بر مفید بودن تصویر میدان برداری توابع مختلط (بد عنوان جانشینی برای دیدگاه سنتی نسبت به يك تابع بد عنوان نگاشتی از صفحه مختلط) در تحلیل صفرها و نقاط تکین آنها تأکید کرده ایم.

برای تأکید بر تمایز بین يك تابع مختلط و میدان برداری وابسته بدان، از این پس میدان برداری پو لیای نظیر تابع مختلط  $f(z)$  را با  $\bar{W}(z)$  یا  $\bar{W}(x, y)$  نشان می دهیم. بنابراین اگر  $f(x+iy) = u(x, y) + iv(x, y)$  تجزیه  $f(z)$  به قسمتهای حقیقی و موهومی اش باشد، آنگاه  $\bar{W}(x, y) = \langle w_1(x, y), w_2(x, y) \rangle$  که  $w_1 = u$  و  $w_2 = -v$ .

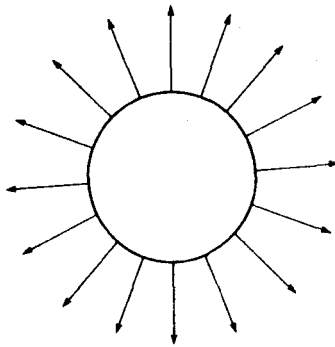
انتگرال  $f$  روی خم چهندار  $\gamma$  را می توان بر حسب انتگرالهای حقیقی مؤلفه های  $\bar{W}$  در امتداد  $\gamma$  نوشت:

$$\begin{aligned} \int_{\gamma} f(z) dz &= \int_{\gamma} (u+iv)(dx+idy) = \int_{\gamma} u dx - v dy + i \int_{\gamma} v dx + u dy \\ &= \int_{\gamma} w_1 dx + w_2 dy + i \int_{\gamma} w_1 dy - w_2 dx \\ &= \int_{\gamma} \bar{W} \cdot T ds + i \int_{\gamma} \bar{W} \cdot N ds, \end{aligned}$$

که در آن  $N$  بردار قائمی است که با چرخش بردار مماس واحد  $T$  در جهت حرکت عقربه های ساعت به اندازه  $\pi/2$  بدست می آید. در قالب عبارات، بخش حقیقی  $\int_{\gamma} f(z) dz$  انتگرال مؤلفه مماسی میدان برداری پو لیا  $\bar{W}$  روی  $\gamma$  (یعنی جریان در امتداد  $\gamma$ ، اگر  $\bar{W}$  را به عنوان يك میدان سرعت تصور کنیم)، و بخش موهومی  $\int_{\gamma} f(z) dz$  انتگرال مؤلفه قائم  $\bar{W}$  روی  $\gamma$  (شار گذرنده از  $\gamma$ ) است. يك ره آورد آسانی این تعبیر هندسی این است که به وضوح نشان می دهد که مقدار يك انتگرال مرزی مستقل از پارامتری سازی است، و اگر جهت خم بر عکس شود تغییر علامت می دهد.

درست همان طوری که می توانیم انتگرال حقیقی  $\int_a^b f(x) dx$  را با تعبیر آن بد عنوان مساحت علامت دار بین نمودار  $f$  و فاصله  $[a, b]$  بر محور  $x$  تخمین بزنیم، انتگرال مختلط  $\int_{\gamma} f(z) dz$  را می توانیم به طور غیر دقیق با بر آورد بصری جریان و شار میدان برداری پو لیا  $\bar{W}$  در امتداد مسیر، تقریب بزنیم.

به عنوان مثال، در شکل ۱، میدان برداری  $\bar{W}$  برای تابع  $f(z) = 1/z$  در امتداد دایره واحد نشان داده شده است. بردار  $\bar{W}(z)$  در هر نقطه  $z$  به مسیر عمود است، بنابراین جریان  $\bar{W}$  در امتداد مرز انتگرال گیری صفر است. همان طور که دیده می شود مؤلفه قائم  $\bar{W}$  برابر مقداری ثابت یعنی ۱، است. بنابراین شار  $\bar{W}$  گذرنده از مسیر به سادگی برابر حاصل ضرب این مقدار ثابت در طول مسیر، یعنی  $2\pi$ ، خواهد بود. پس تحلیل هندسی ما



شکل ۰۱. میدان برداری پولیا برای  $f(z) = 1/z$  روی دایره واحد.

$$\int_{|z|=1} \frac{1}{z} dz = 2\pi i$$

نشان می‌دهد که

البته مثالی که هم اکنون مورد بررسی قرار گرفت خیلی خاص است؛ در حالت کلی فقط می‌توانیم انتگرال مؤلفه‌های مماس و قائم  $W$  روی  $\gamma$  را از روی شکل میدان برداری در امتداد این مسیر تخمین بزنیم. برای این که بر تشابه فرایند تخمین انتگرالهای مختلط با تخمین انتگرالهای حقیقی تأکید بورزیم، فرایند اخیر را به اختصار یادآوری می‌کنیم و در این میان از خواننده می‌خواهیم اندکی قوه اغماض خود را به کار گیرد.

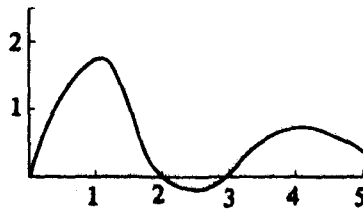
روشن است که برای برآورد  $\int_a^b f(x) dx$  از روی نمودار  $f$  روی  $[a, b]$ ، سطح بین این نمودار و محور  $x$  را تخمین می‌زنیم و مساحت زیر محور  $x$  را از مساحت بالای محور کم می‌کنیم. بدینان دقیقتر می‌توانیم به طور ذهنی افراز  $a = x_0 < x_1 < \dots < x_n = b$  را طوری در نظر بگیریم که علامت  $f(x)$  در هر زیر بازه آن تغییر نکند؛ سپس هر یک از انتگرالهای  $\int_{x_k}^{x_{k+1}} f(x) dx$  را تخمین بزنیم. و اعداد علامتدار حاصل را با هم جمع کنیم. برای برآورد سطح بین نمودار و محور  $x$  روی هر زیر بازه  $[x_k, x_{k+1}]$ ، ارتفاع میانگین  $\bar{y}_k$  نمودار را روی این زیر بازه تخمین می‌زنیم و حاصل ضرب  $\bar{y}_k (x_{k+1} - x_k)$  را به عنوان تقریبمان از مساحت به کار می‌بریم.

به عنوان مثال این فرایند ذهنی برای برآورد  $\int_0^5 f(x) dx$  برای تابعی که نمودارش در شکل ۲ رسم شده است، می‌تواند چیزی شبیه به این باشد: افراز  $0 < 2 < 3 < 5$  را در نظر می‌گیریم؛

$$\int_0^2 f(x) dx \cong (1.1)(2-0) \quad \int_2^3 f(x) dx \cong (-0.1)(3-2) ,$$

$$\int_3^5 f(x) dx \cong (0.7)(5-3) ,$$

بنابراین  $\int_0^5 f(x) dx = 2.2 - 0.1 + 1.4 = 3.5$  . اگر محاسبه‌ای تحلیلی مقدار بسیار متفاوتی برای این انتگرال، مثلاً  $-3$  ، را به دست دهد، متوجه می‌شویم که اشتباهی در محاسبه رخ داده است؛ آنچه که این تخمین هندسی را بسیار متقاعدکننده می‌سازد، سادگی آن است.

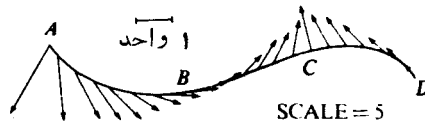


شکل ۲

تعبیر انتگرالهای مختلط به وسیله میدان برداری را می‌توان به روش مشابهی برای دستیابی به تخمین ساده‌ای بر مبنای شهود هندسی به کار بست، که در این صورت می‌تواند به عنوان آزمونی در مقابل روشهای تحلیلی تلقی شود.

برای برآورد  $\int_{\gamma} f(z) dz$  ، باید بخش حقیقی اش،  $\int_{\gamma} \bar{W} \cdot T ds$  ، و بخش موهومی اش،  $\int_{\gamma} \bar{W} \cdot N ds$  ، را جداگانه تخمین بزنیم. برای تخمین  $\int_{\gamma} \bar{W} \cdot T ds$  ابتدا خم را به قطعه‌های  $\gamma_1, \dots, \gamma_n$  که روی هر یک از آنها  $\bar{W} \cdot T$  علامت ثابت دارد افراز می‌کنیم (یادآوری می‌کنیم که برای مثبت بودن  $\bar{W} \cdot T$  تنها کافی است که زاویه بین  $\bar{W}$  و  $T$  حاده باشد). آنگاه بر هر قطعه  $\gamma_k$  به طور بصری مؤلفه مماسی متوسط  $\bar{W}$ ، یعنی  $\tau_k$ ، را تقریب می‌زنیم، به طوری که  $\int_{\gamma_k} \bar{W} \cdot T ds \cong \tau_k l_k$ ، که در آن  $l_k$  نشانگر طول  $\gamma_k$  است. در عمل نمودار  $\bar{W}$  در امتداد  $\gamma$  مقیاس بندی می‌شود، یعنی ضریبی چون SCALE وجود دارد به طوری که برداری با اندازه ظاهری ۱ در نمودار، برداری را در  $C$  در همان جهت اما با اندازه‌ای برابر SCALE نمایش می‌دهد. بنابراین اگر  $\tau_k$  اندازه ظاهری مؤلفه مماسی متوسط  $\bar{W}$  در امتداد قطعه  $\gamma_k$  را نشان دهد، آنگاه  $\int_{\gamma_k} \bar{W} \cdot T ds \cong \text{SCALE} \sum_{k=1}^n \tau_k l_k$  . فرایند تخمین  $\int_{\gamma} \bar{W} \cdot N ds$  مشابه است.

مثال ۱. اگر شکل  $\bar{W}$  در امتداد  $\gamma$  همان طور باشد که در شکل ۳ نشان داده شده است، می‌توانیم برای تخمین  $\int_{\gamma} f(z) dz$  چنین استدلال کنیم.



شکل ۳

روی قطعه  $AC$  زاویه بین  $\bar{W}$  و  $T$  حاده است. بنابراین مؤلفه مماسی  $\bar{W}$  روی این قطعه مثبت است. در  $A$  اندازه (ظاهری)  $\bar{W}$  در حدود ۲ واحد، و اندازه مؤلفه مماسی (تصویر  $\bar{W}$  بر روی خط مماس) در حدود ۱٫۵ واحد است. اندازه بردار  $\bar{W}$  با حرکت بدست  $B$  کاهش می‌یابد، اما در عوض بیشتر و بیشتر به موازات  $T$  درمی‌آید، به طوری که مؤلفه مماسی  $\bar{W}$  فقط در حدود ۰٫۵ واحد کاهش می‌یابد. اگر مؤلفه مماسی متوسط  $\bar{W}$  را در طول این قطعه برابر ۱ واحد برآورده کنیم. آنگاه از آنجا که طول خم  $AB$  در حدود ۵ واحد است، داریم  $\tau_1 l_1 \cong (1)(5) = 5$ . از  $B$  تا  $C$  اندازه بردار  $\bar{W}$  زیاد می‌شود، اما مؤلفه مماسی روی  $BC$  از ۰٫۵ در  $B$  به ۰ در  $C$  کاهش می‌یابد. با استفاده از تخمین  $\tau_2 \cong 0.3$  برای مؤلفه مماسی متوسط روی  $BC$ ، و تقریب ۳ واحد برای طول این قطعه، بدست می‌آوریم  $\tau_2 l_2 \cong (0.3)(3) = 0.9$ . روی قطعه  $CD$  مؤلفه مماسی  $\bar{W}$  از ۰ شروع می‌شود، به مینیمم منفی در حدود ۰٫۲ می‌رسد، و سرانجام در  $D$  دوباره ۰ می‌شود. پس تخمین می‌زنیم  $\tau_3 \cong (-0.2)$ ، و از آنجا که ضریب مقیاس برای نمودار  $SCALE = 5$  است، تخمین ما از  $\int \bar{W} \cdot T ds$  برابر  $28 = 5(5 + 0.9 - 0.3)$  خواهد بود. به روش مشابه با تخمین مؤلفه قائم متوسط  $\bar{W}$  در امتداد  $AB$ ،  $BC$ ، و  $CD$  به ترتیب به صورت  $v_1 \cong 0.5$ ،  $v_2 \cong -0.4$ ، و  $v_3 \cong -0.5$  به دست می‌آوریم  $SCALE \sum v_k l_k \cong 5[(0.5)(5) + (-0.4)(3) + (-0.5)(3)] = -1$ . بنابراین اگر  $W$  میدان برداری پویای تابعی مختلط چون  $f(z)$  باشد، تقریب هندسی ما نشان می‌دهد که  $\int \gamma f(z) dz \cong 28 - i$ . ما نمی‌توانیم از علامت بخش موهومی  $\int \gamma W \cdot N ds$  مطمئن باشیم، زیرا خطاهایی کوچک در تقریب  $v_k$  و  $l_k$  می‌تواند روی علامت مجموع تأثیر بگذارد، اما می‌توانیم با اطمینان بگوییم که جریان در امتداد  $\gamma$  مثبت (در حدود ۳۰) و شار گذرنده از  $\gamma$  نزدیک به ۰ است. اگر محاسبه‌ای تحلیلی به نتیجه‌ای مثل  $\int \gamma f(z) dz = 2\pi i$  بیانجامد، معقول خواهد بود که آن محاسبه را کنترل کنیم.

در یک درس مقدماتی آنالیز مختلط "کاربرد" اصلی انتگرالگیری مختلط محاسبه برخی انتگرالهای حقیقی با استفاده از حساب مانده است. برای این کار معمولاً بازه حقیقی انتگرال-گیری را به یک مرز بسته در صفحه مختلط تکمیل می‌کنیم، قضیه مانده را برای محاسبه یک انتگرال مختلط مناسب روی این مرز به کار می‌بریم، و سپس سعی می‌کنیم سهمی را که در مجموع انتگرال در امتداد محور حقیقی  $x$  دارد، تعیین کنیم. گاهی مشاهده‌ای شکلی از میدان برداری پویا

در امتداد مرز، می‌تواند روشن‌کننده این گام آخر باشد. (همچنین می‌توان مانده را در یک قطب ساده به‌طور هندسی تخمین زد، اما نشان دادن اینکه چگونه این کار ممکن است ما را از زمینه اصلی بحثمان در اینجا بسیار دور می‌کند.)

مثال ۲. مقدار  $I_1 = \int_0^\infty \frac{1}{x^3+1} dx$  را محاسبه کنید.  
در ابتدا، قضیه مانده را برای محاسبه

$$I = \int_\gamma \frac{1}{z^3+1} dz, \quad \gamma = \gamma_1 + \gamma_R + \gamma_2,$$

به‌کار می‌گیریم، که در آن  $\gamma_1$  مسیر روی محور  $x$  از مبدأ تا  $R$ ،  $\gamma_R$  کمانی از دایره  $|z|=R$  از  $R$  تا  $R e^{2\pi i/3}$ ، و  $\gamma_2$  قطعه خطی است که از  $R e^{2\pi i/3}$  به مبدأ باز می‌گردد. داریم  $I = 2\pi i \operatorname{Res}(f, z_1)$ ، که در آن  $f(z) = 1/(z^3+1)$  و  $z_1$  قطب ساده  $f$  در  $e^{\pi i/3}$  است. با محاسبه به‌دست می‌آوریم:

$$\operatorname{Res}(f, z_1) = \lim_{z \rightarrow z_1} (z - z_1) f(z) = \frac{1}{\left[ \frac{3}{2} + i \frac{\sqrt{3}}{2} \right] (i\sqrt{3})}$$

بنابراین

$$I = \pi \left[ \frac{1}{\sqrt{3}} - i \left( \frac{1}{3} \right) \right]$$

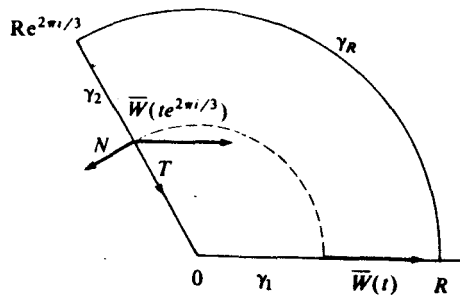
چون با افزایش  $|z|$ ،  $|f(z)|$  خیلی سریع‌تر از  $|z|^2$  کاهش می‌یابد،  $\lim_{R \rightarrow \infty} \int_{\gamma_R} f(z) dz = 0$ . بنابراین از آنجا که مقدار  $I$  مستقل از  $R$  است، می‌توان نوشت  $I = I_1 + I_2$ ، که  $I_2 = \lim_{R \rightarrow \infty} \int_{\gamma_2} f(z) dz$ .

اکنون توجه کنیم که مقدار  $z^3$  در  $z = t$  روی  $\gamma_1$  با  $z = t e^{2\pi i/3}$  روی  $\gamma_2$  یکسان است، بنابراین بردارهای پولیای  $\mathbf{W}(t)$  و  $\mathbf{W}(t e^{2\pi i/3})$  مساوی‌اند. اما جهت  $\mathbf{W}(t)$  در امتداد مسیر  $\gamma_1$  است، در حالی که  $\mathbf{W}(t e^{2\pi i/3})$  با بردار یک‌ه‌مماس بر  $\gamma_2$  زاویه  $\pi/3$  می‌سازد (شکل ۴). بنابراین مؤلفه مماسی  $\mathbf{W}(t e^{2\pi i/3})$  برابر

$$|\mathbf{W}(t)| \cos\left(\frac{\pi}{3}\right) = \frac{1}{2} |\mathbf{W}(t)|,$$

و مؤلفه قائم بر ابرمقدار زیر خواهد بود

$$|\mathbf{W}(t)| \cos\left(\frac{\pi}{2} + \frac{\pi}{3}\right) = -\frac{\sqrt{3}}{2} |\mathbf{W}(t)|,$$



شکل ۴

پس

$$I_2 = \frac{1}{\sqrt{3}} I_1 - i \frac{\sqrt{3}}{2} I_1 \quad (*)$$

که در آن

$$I_1 = \int_0^\infty \frac{1}{t^3 + 1} dt$$

بنابراین

$$I = I_1 + I_2 = \left( \frac{2}{\sqrt{3}} - i \frac{\sqrt{3}}{2} \right) I_1$$

و با مقایسه این مقدار  $I$  که در بالا بدکمک قضیه مانده یافتیم، نتیجه می گیریم که  $I_1 = 2\pi / (3\sqrt{3})$ . بحث ما تنها در یک اصل با محاسبه تحلیلی معمولی  $I$  فرق دارد: استدلال هندسی ما، به جای پارامتری سازی  $\gamma_1$  و به دست آوردن معادله  $(*)$  باروشهای تحلیلی، از تجزیه  $\overline{W}(te^{2\pi i/3})$  به مؤلفه های مماس و قائم برای به دست آوردن این رابطه بین  $I_1$  و  $I_2$  بهره می برد.

نگرش میدان برداری بدانتگرالهای مختلط، علاوه بر روشنگری در تحلیل انتگرالهای خاص، و بر توافقی تازه ای بر خواص آشنای توابع مختلط، می تواند به نتایج نظری جدیدی منجر شود. در تخمین انتگرالهای مختلط نامساوی  $\int_\gamma |f(z)| ds \leq \int_\gamma |f(z)| dz|$  اساسی است، اما به نظر نمی رسد که این نامساوی نامی مورد قبول عام داشته باشد. گاهی اوقات آن را، نامساوی مثلثی برای انتگرالهای مختلط می نامند، چرا که می توان آن را نتیجه ای از این حقیقت که قطعه خط راست کوتاه ترین فاصله بین دو نقطه در صفحه مختلط است، تلقی کرد. من تاکنون درباره شرایطی که تحت آنها در نامساوی مثلثی تساوی برقرار می شود چیزی در منابع نیافته ام. به نظر می رسد دلیل این امر آن باشد که شرایط مناسب بر حسب خواص

نگاشتی توابع مختلط بر اِحتی قابل بیان نیست. اما از دیدگاه میدان برداری، شرط مطلوب به طرز زیبایی ساده است. توجه کنید که چون مقدار يك انتگرال مرزی، با تغییر مسیر انتگرال-گیری به كمك يك دگر دیسی پیوسته (که نقاط انتهایی را ثابت نگه دارد) در حوزة تحلیلی بودن انتگرالده، عوض نمی‌شود، شرایط تساوی در نامساوی مثلثی هم به مرز  $\gamma$  و هم به انتگرالده  $f(z)$  بستگی خواهد داشت.

قضیه: فرض کنید  $f(z)$  يك تابع پیوسته مختلط روی دامنه‌ای شامل کمان تکه‌ای مشتق‌پذیر  $\gamma$  باشد. در این صورت تساوی در نامساوی مثلثی، یعنی رابطه

$$\left| \int_{\gamma} f(z) dz \right| = \int_{\gamma} |f(z)| ds$$

دقیقاً وقتی برقرار است که میدان برداری پولیای  $\overline{W}$  با میدان برداری مماس  $T$  در امتداد  $\gamma$  زاویه‌ای ثابت بسازد.

اثبات ما مبتنی بر لم ساده‌ای درباره‌ی قدرمطلق يك مجموع برداری و مشابه پیوسته‌اش برای انتگرالهای برداری است.

لم ۰۱. اگر  $W = \sum_{k=1}^n V_k$ ، آنگاه  $|W| = \sum_{k=1}^n |V_k| \cos \theta_k$ ، که  $\theta_k$  زاویه بین  $V_k$  و  $W$  است. [در قالب عبارات، مجموع مؤلفه‌های جمعیوندها در امتداد مجموع  $W$ ، قدر مطلق مجموع، یعنی  $|W|$ ، را به دست می‌دهد].  
برهان.

$$\sum_{k=1}^n |V_k| \cos \theta_k = \sum_{k=1}^n \frac{V_k \cdot W}{|W|} = \frac{1}{|W|} \sum_{k=1}^n V_k \cdot W = \frac{1}{|W|} W \cdot W = |W|$$

لم ۰۲. اگر  $a \leq t \leq b$ ، تابع برداری پیوسته‌ای باشد، و  $W = \int_a^b V(t) dt$ ، آنگاه  $|W| = \int_a^b |V(t)| \cos \theta(t) dt$  که در آن  $\theta(t)$  زاویه بین  $V(t)$  و  $W$  است. برهان. فرض کنید  $R_k = \sum_{k=1}^n V(t_k) \Delta t$  نمایانگر يك تقریب مجموع ریمان  $W$  نسبت به افراز  $[a, b]$  به  $n$  زیر بازه‌ی مساوی به طول  $\Delta t = (b-a)/n$  باشد. با به کارگیری لم ۱ داریم  $|R_n| = \sum_{k=1}^n |V(t_k)| \cos \theta_k \Delta t$ ، که در آن  $\theta_k$  زاویه بین  $V(t_k)$  و  $R_n$  است. وقتی که  $R_n \rightarrow W$ ،  $n \rightarrow \infty$ ، بنابراین به ازای هر  $\varepsilon > 0$  مفروض با اختیار کردن  $n$

به قدر کافی بزرگ می‌توانیم کاری کنیم که به ازای هر  $k$ ،  $|\cos \theta_k - \cos \theta(t_k)| < \frac{\varepsilon}{M(b-a)}$ ، که در آن  $\theta(t_k)$  زاویه بین  $V(t_k)$  و  $W$  است، و  $M = \max_{t \in [a, b]} |V(t)|$ . در این صورت

$$\begin{aligned} \left| \sum_{k=1}^n |V(t_k)| (\cos \theta_k - \cos \theta(t_k)) \Delta t \right| &\leq \sum_{k=1}^n |V(t_k)| \frac{\varepsilon}{M(b-a)} \Delta t \\ &\leq nM \frac{\varepsilon}{M(b-a)} \cdot \frac{b-a}{n} = \varepsilon \end{aligned}$$



یعنی وقتی که  $n \rightarrow \infty$ ،  $\sum |\mathbf{V}(t_k)| \cos \theta_k \Delta t \rightarrow \sum |\mathbf{V}(t_k)| \cos \theta(t_k) \Delta t$ ، اما از آنجا که  $\mathbf{W} \rightarrow R_n$ ، سمت چپ به  $|\mathbf{W}|$  میل می‌کند، و سمت راست یک تقریب مجموع ریمان  $\int_a^b |\mathbf{V}(t)| \cos \theta(t) dt$  است. بنابراین همان‌طور که ادعا شده بود

$$\mathbf{W} = \int_a^b |\mathbf{V}(t)| \cos \theta(t) dt$$

نتیجه ۴. اگر  $\mathbf{V}(t)$  بر  $[a, b]$  پیوسته باشد، آنگاه  $|\int_a^b \mathbf{V}(t) dt| \leq \int_a^b |\mathbf{V}(t)| dt$  و تساوی دقیقاً وقتی برقرار است که  $\mathbf{V}(t)$  زاویه قطبی ثابتی داشته باشد.

برهان. اگر  $\theta(t)$  زاویه بین  $\mathbf{V}(t)$  و  $\mathbf{W} = \int_a^b \mathbf{V}(t) dt$  باشد، از آنجا که در طول  $[a, b]$ ،  $1 - \cos \theta(t) \geq 0$ ، داریم  $\int_a^b |\mathbf{V}(t)| \{1 - \cos \theta(t)\} dt \geq 0$ ، و تساوی دقیقاً وقتی برقرار است که  $\cos \theta(t) \equiv 1$ . بنابراین با به‌کارگیری لم ۲ داریم،  $|\int_a^b \mathbf{V}(t) dt| = |\mathbf{W}| = \int_a^b |\mathbf{V}(t)| \cos \theta(t) dt \leq \int_a^b |\mathbf{V}(t)| dt$  و تساوی درست وقتی برقرار است که زاویه  $\theta(t)$  بین  $\mathbf{V}(t)$  و  $\mathbf{W}$  صفر باشد، که این با این شرط هم‌ارز است که  $\mathbf{V}(t)$  زاویه قطبی ثابتی داشته باشد. برهان قضیه.

$$\begin{aligned} \left| \int_{\gamma} f(z) dz \right| &= \left| \int_a^b f(z(t)) z'(t) dt \right| \leq \int_a^b |f(z(t))| |z'(t)| dt \\ &= \int_a^b |f(z)| ds, \end{aligned}$$

و تساوی دقیقاً وقتی برقرار است که تابع برداری  $f(z(t)) z'(t)$  زاویه قطبی ثابتی داشته باشد، اما زاویه قطبی  $f(z(t)) z'(t)$  برابر  $\arg f(z(t)) + \arg z'(t)$  یا  $\arg z'(t) - \arg f(z(t))$  است، که ما آن را به‌عنوان زاویه بین بردار مماس بر مسیر و بردار پولیای  $\mathbf{W}$  در  $z(t)$  می‌شناسیم.

توجه کنیم که میدان برداری شعاعی  $f(z) = 1/z$  در شکل ۱، همان‌طور که در قضیه خواسته شده، با میدان برداری مماس روی دایره  $|z| = 1$  زاویه ثابت  $\pi/2$  می‌سازد و در واقع هم داریم

$$\left| \int_{|z|=1} \frac{1}{z} dz \right| = \int_{|z|=1} \left| \frac{1}{z} \right| ds$$

که مقدار مشترك این دو  $2\pi$  است. مثال دیگری که در آن فرض زاویه ثابت برقرار است، انتگرال  $\int_{\gamma} 1/(z^2 + 1) dz$  است که در مثال ۲ بررسی شد؛ و این حقیقت که برای این انتگرال تساوی در نامساوی مثلثی برقرار است نتیجه بدیهی معادله (\*) در آن مثال است. نظر به در دسترس بودن ریز کامپیوترهایی با امکانات نیرومندگرافیکی، و افزایش تعداد دانشجویان آشنا با چنین سخت‌افزارهایی، می‌توان در یک دوره مقدماتی آنالیز مختلط

تکالیفی کلاسی تدارك دید که با استفاده از تصاویر میدان برداری پولیا سروکار داشته باشند. تجربه با يك چنین مدل هندسی، به خصوص در مطالعه انتگرالگیری مرزی، می تواند کمک کند تا تصویر نامطلوبی را که شنیدن واژه «موهومی» در آنالیز مختلط مجسم می کنیم از یاد ببریم.

### مراجع

1. Braden, Bart. 'Picturing functions of a complex variable ,"  
*College Math. J.*, **16** (1985) 63-72.
2. Churchill, Ruel V., and James W. Brown, *Complex Variables and Applications*, 4th ed., McGraw-Hill, 1984.
3. Polya, George, and Gordon Latta, *Complex Variables*, Wiley 1974.